

(12) NACH DEM VERTRAG ÜBER DIE INTERNATIONALE ZUSAMMENARBEIT AUF DEM GEBIET DES PATENTWESENS (PCT) VERÖFFENTLICHTE INTERNATIONALE ANMELDUNG

(19) Weltorganisation für geistiges Eigentum
Internationales Büro

(43) Internationales Veröffentlichungsdatum
02. November 2017 (02.11.2017)



(10) Internationale Veröffentlichungsnummer
WO 2017/185114 A1

(51) Internationale Patentklassifikation:

G01S 19/14 (2010.01) G06Q 10/00 (2012.01)
A01B 69/00 (2006.01) G01S 19/53 (2010.01)

(21) Internationales Aktenzeichen: PCT/AT2017/060079

(22) Internationales Anmeldedatum:
29. März 2017 (29.03.2017)

(25) Einreichungssprache: Deutsch

(26) Veröffentlichungssprache: Deutsch

(30) Angaben zur Priorität:
A 50371/2016 27. April 2016 (27.04.2016) AT

(71) Anmelder: FARMDOK GMBH [AT/AT]; Krüging 7,
3250 Wieselburg (AT).

(72) Erfinder: PRANKL, Johann; Krüging 7, 3250 Wieselburg (AT).

(74) Anwalt: WEISER & VOITH PATENTANWÄLTE PARTNERSCHAFT; Kopfgasse 7, 1130 Wien (AT).

(81) Bestimmungsstaaten (soweit nicht anders angegeben, für jede verfügbare nationale Schutzrechtsart): AE, AG, AL, AM, AO, AT, AU, AZ, BA, BB, BG, BH, BN, BR, BW, BY, BZ, CA, CH, CL, CN, CO, CR, CU, CZ, DE, DJ, DK, DM, DO, DZ, EC, EE, EG, ES, FI, GB, GD, GE, GH, GM, GT, HN, HR, HU, ID, IL, IN, IR, IS, JP, KE, KG, KH, KN, KP, KR, KW, KZ, LA, LC, LK, LR, LS, LU, LY, MA, MD, ME, MG, MK, MN, MW, MX, MY, MZ, NA, NG, NI, NO, NZ, OM, PA, PE, PG, PH, PL, PT, QA, RO, RS, RU, RW, SA, SC, SD, SE, SG, SK, SL, SM, ST, SV, SY, TH, TJ, TM, TN, TR, TT, TZ, UA, UG, US, UZ, VC, VN, ZA, ZM, ZW.

(54) Title: METHOD FOR DETECTING AGRICULTURAL FIELD WORK PERFORMED BY A VEHICLE

(54) Bezeichnung: VERFAHREN ZUM DETEKTIEREN LANDWIRTSCHAFTLICHER, VON EINEM FAHRZEUG AUSGEFÜHRTER FELDARBEIT

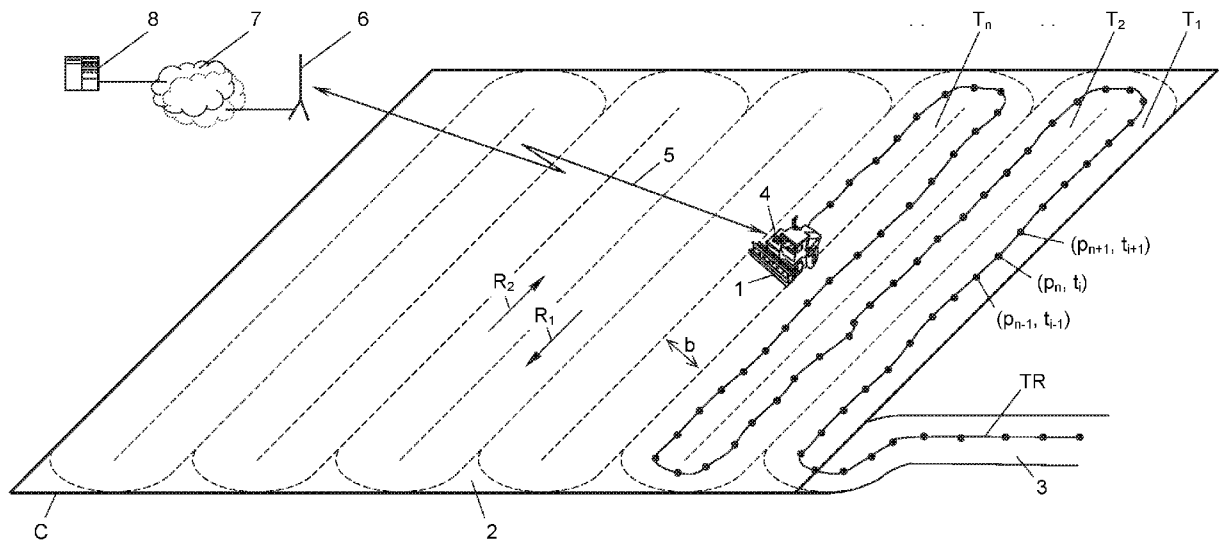


Fig. 1

(57) Abstract: The invention relates to a method for detecting agricultural field work performed by a vehicle (1), comprising: a) carrying a satellite navigation receiver (4) on the vehicle (1) and recording a sequence (FG) of position fixes (p_i) and associated time stamps (t_i); b) for a position fix (p_i): determining a group (G_i) of position fixes that lie in a range (B); c) dividing the group (G_i) into sub-groups on the basis of a minimum time interval; d) determining trajectory sections (tr_j) on the basis of the sub-groups; e) determining an attribute vector (M_i) for the considered position fix (p_i) comprising at least an angle (α_i) between two trajectory sections (tr_j); and, f) if the attribute vector (M_i) satisfies a specified threshold value criterion (K), detecting



WO 2017/185114 A1

(84) Bestimmungsstaaten (soweit nicht anders angegeben, für jede verfügbare regionale Schutzrechtsart): ARIPO (BW, GH, GM, KE, LR, LS, MW, MZ, NA, RW, SD, SL, ST, SZ, TZ, UG, ZM, ZW), eurasisches (AM, AZ, BY, KG, KZ, RU, TJ, TM), europäisches (AL, AT, BE, BG, CH, CY, CZ, DE, DK, EE, ES, FI, FR, GB, GR, HR, HU, IE, IS, IT, LT, LU, LV, MC, MK, MT, NL, NO, PL, PT, RO, RS, SE, SI, SK, SM, TR), OAPI (BF, BJ, CF, CG, CI, CM, GA, GN, GQ, GW, KM, ML, MR, NE, SN, TD, TG).

Veröffentlicht:

— mit internationalem Recherchenbericht (Artikel 21 Absatz 3)

the position fix (p_i) as a location of field work (F).

(57) Zusammenfassung: Verfahren zum Detektieren landwirtschaftlicher, von einem Fahrzeug (1) ausgeführter Feldarbeit, umfassend: a) Mitführen eines Satellitennavigationsempfängers (4) auf dem Fahrzeug (1) und dabei Aufzeichnen einer Folge (FG) von Positionsfixen (p_i) und zugehörigen Zeitstempeln (t_i); b) für einen Positionsfix (p_i): Ermitteln einer Gruppe (G_i) von Positionsfixen, die in einem Bereich (B) liegen; c) Zerteilen der Gruppe (G_i) in Teilgruppen auf Basis eines zeitlichen Mindestabstandes, d) Ermitteln von Trajektorienstücken (tr_j) auf Basis der Teilgruppen; e) Ermitteln eines Merkmalsvektors (M_i) für den betrachteten Positionsfix (p_i) umfassend zumindest einen Winkel (α_i) zwischen zwei Trajektorienstücken (tr_j); und, f) wenn der Merkmalsvektor (M_i) einem vorgegebenen Schwellwertkriterium (K) genügt, Detektieren des Positionsfixes (p_i) als Ort von Feldarbeit (F).

Verfahren zum Detektieren landwirtschaftlicher, von einem
Fahrzeug ausgeführter Feldarbeit

Die vorliegende Erfindung betrifft ein Verfahren zum De-
5 tektieren landwirtschaftlicher, von einem Fahrzeug ausgeführter
Feldarbeit. In weiterer Folge betrifft die Erfindung auch ein
Verfahren zum Klassifizieren der detektierten Feldarbeit und
zum automatischen Vermessen landwirtschaftlich bearbeiteter
Felder.

10 Das automatische Detektieren, Klassifizieren und Vermessen
von Feldarbeit ist für den Landwirt eine große Hilfe, u.zw.
nicht nur zur automatischen Erstellung von Pflichtdokumentatio-
nen seiner Arbeit für wirtschaftliche Zwecke und Umweltschutz,
sondern insbesondere auch zur Kontrolle der bisher am Feld
15 durchgeführten Arbeiten und zur Planung der zukünftig durchzu-
führenden Feldarbeiten, sei es Pflügen, Grubbern, Eggen, Saat-
beetbereiten, Anbau, Düngung, Pflanzenschutz, Mähen, Wenden,
Schwaden, Ernten usw. Zu diesem Zweck ist es bekannt, landwirt-
schaftliche Fahrzeuge wie Traktoren, Mähdrescher usw. mit Sa-
20 tellitennavigationsempfängern auszustatten, welche die Fahrspur
(„Trajektorie“) des Fahrzeugs auf dem Feld aufzeichnen, um dar-
aus die gewünschten Dokumentationen und Messungen zu erstellen.
Zur Unterscheidung zwischen tatsächlicher Arbeit am Feld und
bloßen An- und Abfahrten zum und vom Feld werden dabei übli-
25 cherweise digitale Landkarten verwendet, auf denen die Felder
verzeichnet sind, um die Positionsbestimmungen („Positionsfi-
xe“) des Satellitennavigationsempfängers einem in der Karte
verzeichneten Feld zuzuordnen.

Die Erfindung setzt sich zum Ziel, ein Verfahren zum auto-
30 matischen Detektieren von Feldarbeit zu schaffen, welches die
Verwendung digitaler Landkarten erübrigt und auch in der Lage
ist, bislang noch nicht verzeichnete Felder anhand der darauf
verrichteten Feldarbeit zu detektieren und in weiterer Folge zu
klassifizieren und zu vermessen.

Dieses Ziel wird gemäß einem ersten Aspekt der Erfindung mit einem Verfahren zum Detektieren landwirtschaftlicher, von einem Fahrzeug ausgeführter Feldarbeit erreicht, welches umfasst:

5 a) Mitführen eines Satellitennavigationsempfängers auf dem Fahrzeug und dabei Aufzeichnen einer Folge von Positionsfixen und zugehörigen Zeitstempeln des Satellitennavigationsempfängers;

10 b) für einen Positionsfix der Folge: Ermitteln einer Gruppe von Positionsfixen, die in einem vorgegebenen örtlichen Bereich um den betrachteten Positionsfix liegen;

c) Zerteilen der Gruppe in zumindest zwei Teilgruppen, von denen Positionsfixe der ersten Teilgruppe einen zeitlichen Mindestabstand zu Positionsfixen der zweiten Teilgruppe haben,

15 d) Ermitteln eines ersten Trajektorienstücks auf Basis zumindest zweier Positionsfixe der ersten Teilgruppe und eines zweiten Trajektorienstücks auf Basis zumindest zweier Positionsfixe der zweiten Teilgruppe;

20 e) Ermitteln eines Merkmalsvektors für den betrachteten Positionsfix umfassend zumindest einen Winkel zwischen dem ersten und dem zweiten Trajektorienstück; und,

f) wenn der Merkmalsvektor einem vorgegebenen Schwellwertkriterium umfassend einen Maximalwinkel genügt, Detektieren des Positionsfixes als Ort von Feldarbeit.

25 Erfindungsgemäß werden somit parallele Fahrmuster in der lokalen Umgebung eines Positionsfixes detektiert, um diesen entweder als einen Ort, an dem Feldarbeit verrichtet wird, zu detektieren oder nicht. Letzteres zeigt dann beispielsweise Transport- bzw. Straßenfahrten bei der An- oder Abfahrt zu bzw.
30 von einem Feld an. Die erfindungsgemäße Detektion von Feldarbeit ermöglicht auch die Erkennung von Feldarbeit an neuen, erstmals bearbeiteten Feldern, ohne dass diese bereits in einer digitalen Karte verzeichnet sein müssen.

Das Verfahren der Erfindung kann beispielsweise mit einem
35 mit dem Satellitennavigationsempfänger ausgestatteten herkömm-

lichen Smart-Phone durchgeführt werden, welches die Folge von Positionsfixen (den „Track“) aufzeichnet und in der genannten Art und Weise auswertet. Alternativ und bevorzugt können aber auch nur Schritt a) mit einem mobilen Endgerät, z.B. Smart-
5 Phone, und die Schritte b) bis f) in einem davon entfernten Server durchgeführt werden, welcher den vom Endgerät aufgezeichneten Track über z.B. eine Mobilfunkverbindung vom Endgerät enthält und mit hoher Serverrechenleistung auswertet.

Eine bevorzugte Ausführungsform der Erfindung zeichnet sich dadurch aus, dass - wenn der betrachtete Positionsfix Teil der ersten Teilgruppe ist - der Merkmalsvektor einen Normalabstand des betrachteten Positionsfixes zum nächstliegenden zweiten Trajektorienstück umfasst, und das Schwellwertkriterium auch einen Maximalabstand umfasst. Durch Einbeziehen des Ab-
15 standes zwischen den Trajektorienstücken in der Umgebung des untersuchten Ortes kann die Sicherheit der Detektion von Feldarbeit noch weiter erhöht werden. Dies beruht auf der Erkenntnis, dass der Abstand paralleler Fahrmuster auf einem Feld in der Regel durch die Arbeitsbreite des Feldbearbeitungsfahrzeugs
20 bestimmt ist, beispielsweise die Pflugbreite eines Traktors, die Mähbreite eines Mähdreschers usw. Ein Positionsfix wird somit in dieser Ausführungsform als zu Feldarbeit zugehörig erkannt, wenn sowohl ausreichende Parallelität (Unterschreiten des Maximalwinkels) als auch ein für Feldarbeit realistischer
25 Abstand zu den Nachbarfahrspuren (Unterschreiten des Maximalabstands) vorliegt.

Anhand des Normalabstands eines Positionsfixes zu seinem Nachbartrajektorienstück kann gemäß einem weiteren Merkmal der Erfindung auch die Art der dort verrichteten Feldarbeit be-
30 stimmt werden, d.h. die Feldarbeit klassifiziert werden. Beispielsweise sind eine große Arbeitsbreite des Fahrzeugs und damit ein großer Normalabstand für Feldarbeit wie Pflanzenschutz oder Düngen typisch, während eine geringe Arbeitsbreite und damit ein kleiner Normalabstand für kraftintensive Feldarbeit wie
35 Pflügen oder Grubbern typisch sind.

In einer weiteren vorteilhaften Ausgestaltung der Erfindung kann - wenn der betrachtete Positionsfix Teil der ersten Teilgruppe ist - der Merkmalsvektor eine aus zumindest zwei Positionsfixen und zugehörigen Zeitstempeln der ersten Teilgruppe ermittelte Geschwindigkeit und das Schwellwertkriterium auch eine Maximalgeschwindigkeit umfassen. Das Über- bzw. Unterschreiten der Maximalgeschwindigkeit kann somit ein weiteres Unterscheidungsmerkmal für das Detektieren von Feldarbeit sein, welches in das Schwellwertkriterium einfließt. So wird bei An- und Abfahrten zum und vom Feld, d.h. bei Straßen- oder Transportfahrt, in der Regel eine höhere Geschwindigkeit gewählt als bei Feldarbeit.

In weiterer Folge kann die solcherart ermittelte Geschwindigkeit in Verbindung mit dem Normalabstand und damit der Arbeitsbreite des Fahrzeugs zur verbesserten Klassifikation der detektierten Feldarbeit herangezogen werden. Wenn beispielsweise sowohl Arbeitsbreite als auch übliche Fahrtgeschwindigkeit eines Pfluges, einer Egge, eines Düngemittelstreuers od.dgl. bekannt sind, kann aus dem ermittelten Normalabstand und der ermittelten Geschwindigkeit die Feldarbeit dementsprechend in Pflügen, Eggen, Düngen usw. klassifiziert werden.

Gemäß einem weiteren Aspekt der Erfindung umfasst das Verfahren:

Durchführen der Schritte b) bis f) für jeden Positionsfix der Folge; und

Erkennen mehrerer örtlich zusammenhängend benachbarter, jeweils als Ort von Feldarbeit detektierter Positionsfixe als landwirtschaftlich bearbeitetes Feld.

Auf diese Weise können nicht nur einzelne Orte von Feldarbeit detektiert werden, sondern ganze Felder. In weiterer Folge kann daraus beispielsweise die Fläche des erkannten Feldes berechnet werden, um landwirtschaftliche Tätigkeiten zu kontrollieren und zu planen, z.B. die Beschaffung und Ausbringung von flächenbezogenem Dünger, die Berechnung flächenbezogener Erträge des Feldes usw.

Aus mehreren im Zuge der Detektion des Feldes ermittelten Normalabständen kann dabei auch die Arbeitsbreite des Fahrzeugs gemittelt werden.

Eine verbesserte Ermittlung der Arbeitsbreite umfasst die
5 optionalen Verfahrensschritte:

Unterteilen der Positionsfixe im Feld in zeitlich aufeinanderfolgende Fahrten von jeweils abwechselnder Fahrtrichtung;

Glätten der Positionsfixe im Feld in Hinblick auf eine Maximierung der Parallelität der Fahrten; und

10 Ermitteln einer Arbeitsbreite aus dem gegenseitigen Abstand zumindest zweier Fahrten.

Auf diese Weise wird die erwartete Parallelität der Fahrten auf dem Feld zur Beseitigung von Messfehlern der Satellitennavigationsbestimmung herangezogen, was eine verbesserte Genauigkeit des Verfahrens ergibt.
15

Die ermittelte Arbeitsbreite kann in weiterer Folge dazu verwendet werden, die Vermessung der Fläche des Feldes zu verbessern. Demgemäß umfasst eine weitere bevorzugte Ausführungsform des Verfahrens:

20 Ermitteln einer Kontur des Feldes;

Vergrößern der Kontur des Feldes um einen Anteil, bevorzugt um die Hälfte, der Arbeitsbreite; und

Berechnen der Fläche innerhalb der vergrößerten Kontur als Fläche des erkannten Feldes.

25 Diese Verbesserung beruht auf der Annahme, dass der Satellitennavigationsempfänger, beispielsweise ein Smart-Phone, vom Fahrer des Fahrzeugs etwa in der Mitte des Fahrzeugs mitgeführt wird, so dass die effektive Arbeitsbreite des Fahrzeugs davon nach links und rechts auskragt. Auch wenn die Fahrerkabine außermittig angeordnet ist, kann dies berücksichtigt werden, indem ein entsprechender Anteil der Arbeitsbreite jeweils zur
30 Kontur hinzugerechnet wird, und zwar je nachdem, ob die Fahrerkabine in Fahrtrichtung des Fahrzeugs links oder rechts außermittig liegt.

Die durch Mittelung über das gesamte Feld oder aus einer Glättung der Positionsfixe ermittelte Arbeitsbreite kann wiederum zur Klassifikation der Feldarbeit herangezogen werden, z.B. auch in Verbindung mit einer Auswertung der Fahrtgeschwindigkeit wie oben beschrieben.

Die Erfindung wird nachstehend anhand von in den beigefügten Zeichnungen dargestellten Ausführungsbeispielen näher erläutert. In den Zeichnungen zeigt

Fig. 1 die landwirtschaftliche Bearbeitung eines Feldes in Verbindung mit Komponenten des erfindungsgemäßen Verfahrens in einer schematischen Perspektivansicht;

Fig. 2 ein Flussdiagramm des Verfahrens der Erfindung;

Fig. 3 die lokale Umgebung eines der Positionsfixe auf dem Feld von Fig. 1 in einer schematischen Draufsicht mit weiteren Komponenten des Verfahrens der Erfindung; und

die Fig. 4a bis 4c beispielhafte Trajektorien und Feldkonturen in der Draufsicht in verschiedenen Phasen des Verfahrens der Erfindung.

Fig. 1 zeigt ein landwirtschaftliches Fahrzeug 1, z.B. einen Traktor, Mähdrescher od.dgl., der auf einem Feld 2 landwirtschaftliche Feldarbeit verrichtet. Die Feldarbeit kann von jeder bekannten Art sein, beispielsweise eine Bodenbearbeitung oder Saatbettbereitung wie Pflügen, Grubbern, Eggen usw., ein Ausbringen von Saatgut, Düngemittel oder Pflanzenschutzmittel, ein Mähen, Wenden oder Schwaden, ein Ernten usw. Das Feld 2 wird dabei in zeitlich aufeinanderfolgenden Fahrten T_1 , T_2 , ..., allgemein T_n , mit jeweils abwechselnder Fahrtrichtung R_1 bzw. R_2 abgefahren, was insgesamt eine etwa schlangenlinien- bzw. mäanderförmige Trajektorie TR des Fahrzeugs 1 auf dem Feld 2 ergibt. Über einen Feldweg oder eine Straße, allgemein ein Straßennetz 3, erfolgt die Zu- und Abfahrt des Fahrzeugs 1 zum und vom Feld 2.

Das Fahrzeug 1 führt einen Satellitennavigationsempfänger 4 mit, der fortlaufend, beispielsweise mehrmals pro Sekunde oder alle paar Sekunden, seine Geoposition misst und als Positi-

- 7 -

onsfixe p_1, p_2, \dots , allgemein p_i , mit einem zugehörigen Zeitstempel t_1, t_2, \dots , allgemein t_i aufzeichnet. Die Folge $FG = \{(p_i, t_i)\}$ von Paaren von Positionsfixen p_i und Zeitstempeln t_i kennzeichnet somit die gesamte Trajektorie TR des Fahrzeugs 1, einschließlich seiner Fahrten auf dem Feld 2 und dem Straßennetz 3.

Der Satellitennavigationsempfänger 4 kann beispielsweise Bestandteil eines mobilen Endgeräts sein, z.B. eines Mobiltelefons oder Smart-Phones des Lenkers des Fahrzeugs 1, und vom Fahrzeuglenker mitgeführt werden; alternativ könnte der Satellitennavigationsempfänger 4 aber auch fest im Fahrzeug 1 verbaut sein.

Die Folge FG (der „Track“ der Trajektorie TR) kann direkt im Satellitennavigationsempfänger 4 in der nachfolgend beschriebenen Art und Weise ausgewertet werden, z.B. in einem mit dem Satellitennavigationsempfänger 4 ausgestatteten Smart-Phone des Fahrzeuglenkers. Bevorzugt wird die aufgezeichnete Folge FG jedoch über eine Mobilfunkverbindung 5, ein Mobilfunknetz 6 und ein Datennetz 7, z.B. das Internet, an einen entfernten Server 8 zur Auswertung gesandt. Das Übersenden der Folge FG kann fortlaufend oder abschnittsweise in Tranchen oder auch nur auf Veranlassung einer entsprechend programmierten Applikation im Satellitennavigationsempfänger 4, auf Veranlassung des Fahrzeuglenkers oder auf Veranlassung eines Benutzers des Servers 8 erfolgen.

Unter gleichzeitiger Bezugnahme auf die Fig. 2 und 3 wird nun ein mit Hilfe des Satellitennavigationsempfängers 4 und/oder des Servers 8 ausgeführtes Verfahren zur Auswertung der Folge FG beschrieben, welches automatisch detektiert, ob das Fahrzeug 1 gerade Feldarbeit ausführt oder nicht. Aus der Detektion von Feldarbeit kann anschließend das Vorhandensein eines Feldes 2 in der Landschaft erkannt und dieses auch vermessen werden. Schließlich wird beschrieben, wie die Art der vom Fahrzeug 1 ausgeführten Feldarbeit am Feld 2 automatisch

klassifiziert werden kann, um landwirtschaftliche Dokumentations-, Kontroll- und Planungszwecke zu erfüllen.

Gemäß Fig. 2 wird in einem ersten Schritt 9 die Folge FG wie soeben beschrieben aufgezeichnet. Anschließend wird in einer Schleife 10 für jeden Positionsfix p_i der Folge FG untersucht, ob dieser ein Ort ist, an dem Feldarbeit verrichtet wird oder nicht.

Dazu wird im ersten Teilschritt 12 der Schleife 10 gemäß Fig. 3 ein lokaler Bereich B um den jeweils betrachteten Positionsfix p_i der Folge FG gezogen. Der Bereich B kann beliebige Form haben, z.B. die Form eines Quadrats, Rechtecks, einer Ellipse oder eines Kreises. Die Größe des Bereichs B, z.B. bei einem kreisförmigen Bereich sein Radius r , wird dabei bevorzugt etwas größer gewählt als die maximal erwartete Arbeitsbreite b des Fahrzeugs 1.

Alle Positionsfixe p_i der Folge FG, die in dem Bereich B liegen, bilden eine Gruppe G_i von Positionsfixen, im vorliegenden Beispiel die Gruppe $G_i \{p_{i-102}, p_{i-101}, p_{i-100}, p_{i-2}, p_{i-1}, p_i, p_{i+1}, p_{i+2}, p_{i+100}, p_{i+101}, p_{i+102}\}$.

Im nächsten Teilschritt 12 wird nun die Gruppe G_i unter Verwendung der Zeitstempel t_i der darin enthaltenen Positionsfixe p_i in (zumindest) zwei Teilgruppen, hier die drei Teilgruppen $\{p_{i-102}, p_{i-101}, p_{i-100}\}$, $\{p_{i-2}, p_{i-1}, p_i, p_{i+1}, p_{i+2}\}$ und $\{p_{i+100}, p_{i+101}, p_{i+102}\}$ zerlegt („parsing“), wobei das Zerteilungskriterium darin besteht, dass der zeitliche Abstand $t_{i+1} - t_i$ zwischen zwei zeitlich aufeinanderfolgenden Positionsfixen p_{i+1} und p_i einen vorgegebenen zeitlichen Mindestabstand ΔT übersteigt. Mit anderen Worten unterscheiden sich alle Positionsfixe einer Teilgruppe um mindestens den zeitlichen Abstand ΔT von allen Positionsfixen einer anderen Teilgruppe. Optional kann auch ein zeitlicher Maximalabstand überprüft werden, d.h. Positionsfixe, die einen zu großen zeitlichen Abstand zu dem betrachteten Positionsfix p_i haben, werden ausgeschieden und nicht mehr weiter berücksichtigt.

Diese Zerlegung der Folge FG und damit der Trajektorie TR beruht auf der Annahme, dass im Bereich B die Positionsfixe p_i aus Nachbarfahrten T_{n+1} auf dem Feld 2 jeweils einen signifikant größeren Zeitabstand zum betrachteten Positionsfix p_i haben als die Positionsfixe derselben Fahrt T_n , in der der betrachtete Positionsfix p_i liegt.

Anschließend wird im Schritt 12 aus jeder Teilgruppe ein Trajektorienstück tr_1, tr_2, \dots , allgemein tr_j , gebildet, beispielsweise einfach durch Aufstellen einer Verbindungslinie oder -kurve zwischen zwei (oder mehr) aufeinanderfolgenden Positionsfixen p_i der jeweiligen Teilgruppe.

Im Ergebnis wird in Schritt 12 somit eine Menge $\{tr_j\}$ von Trajektorienstücken tr_1, tr_2, \dots allgemein tr_j , im Bereich B rund um den betrachteten Positionsfix p_i erhalten.

Im anschließenden Teilschritt 13 werden aus der Menge $\{tr_j\}$ von Trajektorienstücken tr_j Merkmale für den betrachteten Positionsfix p_i extrahiert und zu einem Merkmalsvektor M_i zusammengefasst. Der Merkmalsvektor M_i des Positionsfixes p_i kann dabei insbesondere einen oder mehrere der folgenden Werte enthalten:

- einen Winkel α_i zwischen einem beliebigen ersten Trajektorienstück tr_1 im Bereich B und einem beliebigen zweiten Trajektorienstück tr_2 im Bereich B, insbesondere zwischen dem den Positionsfix p_i enthaltenden Trajektorienstück tr_2 und einem benachbarten Trajektorienstück tr_j ;

- einen Normalabstand d_i des betrachteten Positionsfixes p_i zum nächstgelegenen Trajektorienstück tr_j ;

- eine Geschwindigkeit v_i , ermittelt aus beispielsweise zwei aufeinanderfolgenden Positionsfixen p_i, p_{i+1} und zugehörigen Zeitstempeln t_i, t_{i+1} ;

- eine Dichte oder Dichteverteilung der Positionsfixe der Gruppe G_i im Bereich B.

In einem anschließenden Schritt 14 wird nun überprüft, ob der Merkmalsvektor M_i des betrachteten Positionsfixes p_i einem vorgegebenen Schwellwertkriterium K genügt („y“) oder nicht

(„n“). Das Schwellwertkriterium K umfasst dabei - entsprechend dem jeweiligen Inhalt des Merkmalvektors M_i - eines oder mehrere der folgenden Teilkriterien:

- einen Maximalwinkel α_{\max} , unterhalb dessen der Winkel α_i liegen muss, damit das Schwellwertkriterium K erfüllt ist; der Maximalwinkel α_{\max} steht dabei für ein Mindestmaß an Parallelität, das zwei benachbarte Trajektorienstücke tr_j im Bereich B haben müssen;

- einen Maximalabstand d_{\max} , unterhalb dessen der Normalabstand d_i liegen muss, damit das Schwellwertkriterium K erfüllt ist; der Maximalabstand d_{\max} steht dabei für eine erwartete maximale Arbeitsbreite b des Fahrzeugs 1;

- eine Maximalgeschwindigkeit v_{\max} , unterhalb der die Geschwindigkeit v_i liegen muss, damit das Schwellwertkriterium K erfüllt ist; dies beruht auf der Annahme, dass Arbeit am Feld 2 mit geringerer Geschwindigkeit ausgeführt wird als Zu- und Abfahrten auf dem Straßennetz 3;

- eine minimale oder maximale Punktdichte oder Punktdichteverteilung, welche die Positionsfixe der Gruppe G_i haben müssen, damit das Schwellwertkriterium K erfüllt ist.

Im einfachsten Fall umfasst der Merkmalsvektor M_i nur den Winkel α_i und das Schwellwertkriterium K nur den Maximalwinkel α_{\max} ; in komplexerer Ausgestaltung umfasst der Merkmalsvektor M_i zunehmend mehr der genannten Merkmale und das Schwellwertkriterium K dementsprechend zunehmend mehr der genannten Teilkriterien.

Wenn der Merkmalsvektor M_i in Schritt 14 das Schwellwertkriterium K erfüllt (Zweig „y“), dann wird in Schritt 15 der Positionsfix p_i als Ort von Feldarbeit „F“ detektiert. Andernfalls wird der Positionsfix p_i als Ort von Straßenfahrt „S“ detektiert (Schritt 16).

Im Falle von detektierter Feldarbeit („F“) kann diese in einem optionalen Schritt 17 klassifiziert, d.h. nach ihrer Art unterschieden werden, ob es sich beispielsweise um Pflügen, Eggen, Grubbern, Düngen, Mähen, Ernten usw. handelt. Dazu wird

der Merkmalsvektor M_i weiter ausgewertet, beispielsweise anhand des darin enthaltenen Normalabstands d_i und/oder der Geschwindigkeit v_i . Sind z.B. die Arbeitsbreite b eines Pflugs des Fahrzeugs 1 und dessen Arbeitsgeschwindigkeit bekannt, kann die
5 Feldarbeit „Pflügen“ anhand eines - innerhalb vorgegebener Toleranzen - übereinstimmenden Normalabstands d_i und einer dazu - innerhalb vorgegebenen Toleranzen - übereinstimmenden Geschwindigkeit v_i erkannt werden.

Nach Abarbeitung der Schleife 10 mit den Teilschritten 11
10 - 17 ist für jeden Positionsfix p_i der Folge FG bzw. Trajektorie TR ein Detektionsergebnis erzielt worden, ob dieser Positionsfix p_i ein Ort von Feldarbeit F ist oder nicht. In Schritt 18 werden nun jeweils mehrere örtlich zusammenhängend benachbarte, als Ort von Feldarbeit F detektierte Positionsfixe p_i ,
15 im weiteren als $P_{i,F}$ bezeichnet, als ein zusammenhängendes Feld A (hier: das Feld 2) erkannt. Es versteht sich, dass aus einer gesamten Trajektorie TR des Fahrzeugs 1, wenn dieses beispielsweise mehrere Felder 2 nacheinander abarbeitet, auch mehrere jeweils voneinander gesonderte Felder A erkannt werden können.

20 Sobald in Schritt 18 ein Feld A bestimmt worden ist, kann anschließend in einem Schritt 19 eine die Positionsfixe $\{P_{i,F}\}$ des Feldes A umhüllende Kontur C des Feldes A ermittelt werden. Dazu eignen sich jegliche in der Technik bekannte Umriss- bzw. Kontursuchalgorithmen, wie eine gewichtete Minimalpfadsuche
25 nach Edsger W. Dijkstra, „A note on two problems in connexion with graphs“, Numerische Mathematik, 1, 1959, S. 269-271; oder die Berechnung einer konkaven Hülle mittels Alpha-Shapes nach N. Akkiraju, H. Edelsbrunner, M. Facello, P. Fu, E.P. Mucke, and C. Varela, „Alpha shapes: definition and software“, Proc.
30 Internat. Comput. Geom. Software Workshop 1995, Minneapolis; oder eine Nachbarschaftssuche mittels KD-Tree FLANN nach Marius Muja and David G. Lowe, „Scalable Nearest Neighbor Algorithms for High Dimensional Data“, Pattern Analysis and Machine Intelligence (PAMI), Band 36, 2014.

Mit Hilfe der in Schritt 19 ermittelten Kontur C des Feldes A kann in Schritt 20 anschließend die Fläche des Feldes A berechnet werden. In einem abschließenden Schritt 21, der alternativ oder zusätzlich zu Schritt 17 möglich ist, kann die gesamte im Feld A verrichtete Feldarbeit klassifiziert werden, beispielsweise anhand eines Mittelwerts der Normalabstände d_i und/oder eines Mittelwerts der Geschwindigkeiten v_i der Merkmalsvektoren M_i aller Positionsfixe $P_{i,F}$ des Feldes A. Der Mittelwert der Normalabstände d_i kann dabei auch als Messwert der Arbeitsbreite b des Fahrzeugs 1 herangezogen werden.

Eine optionale Verfahrensvariante zur Ermittlung des Kontur C des Feldes A mit verbesserter Genauigkeit ist in Fig. 2 strichliert dargestellt und wird unter gleichzeitiger Bezugnahme auf die Fig. 4a bis 4c im Folgenden beschrieben.

Fig. 4a zeigt eine beispielhafte Trajektorie TR von Positionsfixen p_i in Gitternetzdarstellung, wobei von den Positionsfixen $p_{i,F}$ im Feld A nicht nur die jeweils aufeinanderfolgenden Positionsfixe $P_{i,F}$, sondern auch die in nebeneinanderliegenden Fahrten T_n bzw. Trajektorienstücken tr_j liegenden Positionsfixe $p_{i,F}$ mit Gitternetzlinien verbunden wurden.

In einem ersten Schritt 22 werden die Positionsfixe $p_{i,F}$ im Feld A in zeitlich aufeinanderfolgende Fahrten T_n von jeweils abwechselnder Fahrtrichtung R_1, R_2 unterteilt. Optional können Wendepunkte bzw. Wendebereiche zwischen den Fahrten T_n detektiert und auf die Fahrten T_n entsprechend aufgeteilt werden. Anschließend werden in Schritt 23 die Positionsfixe p_i im Hinblick auf eine Maximierung der Parallelität der Fahrten T_n geglättet, d.h. jeweils individuell so unter Minimierung eines Fehlermaßes e_i positionsverschoben, dass die Fahrten T_n mit möglichst gleichen Normalabständen d_i möglichst parallel nebeneinanderliegen. Das Ergebnis des Glättungsschrittes 23 ist in Fig. 4b gezeigt.

Der Glättungsschritt 23 kann beispielsweise durch Anwendung eines Levenberg-Marquardt (LM) Verfahrens nach Jorge J. Moré, „The Levenberg-Marquardt algorithm: Implementation and

theory", in G.A. Watson (ed.) „Numerical Analysis“, Dundee 1977, Lecture Notes Math. 630, 1978, S. 105-116, durchgeführt werden. Für jeden zu korrigierenden Positionsfix p_i wird ein zu optimierender Parameterpunkt P hinzugefügt. Als weitere Parameter dienen die Arbeitsbreite b und ein Offset d_o zur Mittellinie des Fahrzeugs 1. Das zu optimierende System besteht somit aus folgenden Gleichungen (zur einfacheren Lesbarkeit wird auf das Anschreiben der Indizes für Punkte und Vektoren im Gleichungssystem verzichtet):

10

$$P_o = P + d_o$$

$$e_p = \|P_o - p\|$$

$$e_s = w_s (\|r \times (P_n - P)\|)$$

$$e_n = w_n (\|r \times (P_l - P)\| - b)$$

P_o ist dabei der um den Offset korrigierte Punkt P , r der zum Punkt P gehörige Richtungsvektor, P_n der in der Trajektorie TR folgende Punkt, P_l der nächstgelegene Punkt im parallelen Trajektorienstück und w_s und w_n sind Gewichtungsfaktoren. Die Fehler e_p , e_s und e_n bilden das zu minimierende Fehlerfunktional

20

$$\min \sum_A (e_p + e_s + e_n)^2$$

Im Zuge dieser Optimierung werden somit die Positionsfixe $p_{i,F}$ geglättet, um einen Offset d_o zur Fahrzeugmitte korrigiert und die Arbeitsbreite b geschätzt. Fig. 4b zeigt das Ergebnis. Als Ergebnis der Optimierungskorrektur in Schritt 23 ergibt sich gleichzeitig eine optimiert berechnete Arbeitsbreite b im Feld A (Schritt 24).

Es versteht sich, dass die Optimierung des Schrittes 23 auch schon zuanfangs an allen Positionsfixen p_i der Folge FG durchgeführt werden kann, bevor diese in der Schleife 10 auf Feldarbeit überprüft werden, d.h. Schritt 23 kann alternativ oder zusätzlich auch unmittelbar nach dem Schritt 9 durchgeführt werden.

30

Mit Hilfe der optimiert berechneten Arbeitsbreite b wird schließlich in Schritt 25 die Kontur C des Feldes A korrigiert, wie sie beispielsweise mit Hilfe der vorgenannten Dijkstra-, Alpha-Shape- oder Kd-Tree-Verfahren ermittelt wurde. Dabei wird
5 die Kontur C um einen Anteil der Arbeitsbreite b vergrößert, welcher der Tatsache Rechnung trägt, dass der Satellitennavigationsempfänger 4 innerhalb der Arbeitsbreite b des Fahrzeugs 1 meist in der Fahrzeugmitte liegt. Wenn der Satellitennavigationsempfänger 4 in der Fahrzeugmitte liegt, dann wird die Kontur
10 C über ihren gesamten Umfang um $b/2$ vergrößert; liegt der Satellitennavigationsempfänger 4 beispielsweise in einem Abstand von $b/3$ vom in Fahrtrichtung gesehen rechten Arbeitsrand des Fahrzeugs 1, dann wird die Kontur C an jenen Umfangsorten, wo sich das Fahrzeug 1 gegen den Uhrzeigersinn entlang der Kontur
15 C bewegt, um $b/3$ vergrößert, und an jenen Umfangsorten, wo sich das Fahrzeug im Uhrzeigersinn entlang der Kontur C bewegt, um $2b/3$. Optional können bei der Korrektur der Kontur C auch Wendepunkte zwischen den Fahrten T_n detektiert und mitberücksichtigt werden.

20 Durch die Glättung der Positionsfixe p_i im Hinblick auf eine größtmögliche Parallelität der Fahrten T_n und einen möglichst gleichmäßigen Normalabstand d_i über die Trajektorie TR im Feld A wird eine Verbesserung der Positionsbestimmung erreicht, die es erlaubt, genaue Feldvermessungen mit Hilfe einfacher handelsüblicher Satellitennavigationsempfänger durchzu-
25 führen, ohne auf Präzisions-Positionsbestimmungssysteme wie dGPS (differential GPS) oder RTK (Real Time Kinematics) zurückzugreifen.

Die Erfindung ist demgemäß nicht auf die dargestellten
30 Ausführungsformen beschränkt, sondern umfasst alle Varianten, Modifikationen und deren Kombinationen, die in den Rahmen der angeschlossenen Ansprüche fallen.

Patentansprüche:

1. Verfahren zum Detektieren landwirtschaftlicher, von einem Fahrzeug (1) ausgeführter Feldarbeit, umfassend:

5 a) Mitführen eines Satellitennavigationsempfängers (4) auf dem Fahrzeug (1) und dabei Aufzeichnen einer Folge (FG) von Positionsfixen (p_i) und zugehörigen Zeitstempeln (t_i) des Satellitennavigationsempfängers;

10 b) für einen Positionsfix (p_i) der Folge: Ermitteln einer Gruppe (G_i) von Positionsfixen, die in einem vorgegebenen örtlichen Bereich (B) um den betrachteten Positionsfix (p_i) liegen;

15 c) Zerteilen der Gruppe (G_i) in zumindest zwei Teilgruppen, von denen Positionsfixe der ersten Teilgruppe einen zeitlichen Mindestabstand (ΔT) zu Positionsfixen der zweiten Teilgruppe haben,

20 d) Ermitteln eines ersten Trajektorienstücks (tr_1) auf Basis zumindest zweier Positionsfixe der ersten Teilgruppe und eines zweiten Trajektorienstücks (tr_2) auf Basis zumindest zweier Positionsfixe der zweiten Teilgruppe;

e) Ermitteln eines Merkmalsvektors (M_i) für den betrachteten Positionsfix (p_i) umfassend zumindest einen Winkel (α_i) zwischen dem ersten und dem zweiten Trajektorienstück (tr_1 , tr_2); und,

25 f) wenn der Merkmalsvektor (M_i) einem vorgegebenen Schwellwertkriterium (K) umfassend einen Maximalwinkel (α_{max}) genügt, Detektieren des Positionsfixes (p_i) als Ort von Feldarbeit (F).

30 2. Verfahren nach Anspruch 1, dadurch gekennzeichnet, dass der betrachtete Positionsfix (p_i) Teil der ersten Teilgruppe ist, der Merkmalsvektor (M_i) einen Normalabstand (d_i) des betrachteten Positionsfixes (p_i) zum nächstliegenden zweiten Trajektorienstück (tr_j) umfasst, und das Schwellwertkriterium (K) auch einen Maximalabstand (d_{max}) umfasst.

3. Verfahren nach Anspruch 2, ferner umfassend das Klassifizieren der detektierten Feldarbeit (F) anhand zumindest des Normalabstands (d_i).

4. Verfahren nach einem der Ansprüche 1 bis 3, dadurch gekennzeichnet, dass der betrachtete Positionsfix (p_i) Teil der ersten Teilgruppe ist, der Merkmalsvektor (M_i) eine aus zumindest zwei Positionsfixen und zugehörigen Zeitstempeln der ersten Teilgruppe ermittelte Geschwindigkeit (v_i) umfasst, und das Schwellwertkriterium (K) auch eine Maximalgeschwindigkeit (v_{\max}) umfasst.

5. Verfahren nach Anspruch 4, ferner umfassend das Klassifizieren der detektierten Feldarbeit (F) anhand zumindest des Normalabstands (d_i) und der Geschwindigkeit (v_i).

6. Verfahren nach einem der Ansprüche 1 bis 5, umfassend:

Durchführen der Schritte b) bis f) für jeden Positionsfix (p_i) der Folge (FG); und

Erkennen mehrerer örtlich zusammenhängend benachbarter, jeweils als Ort von Feldarbeit detektierter Positionsfixe ($P_{i,F}$) als landwirtschaftlich bearbeitetes Feld (2).

7. Verfahren nach Anspruch 6, ferner umfassend das Berechnen der Fläche des erkannten Feldes (2).

8. Verfahren nach Anspruch 6 in Verbindung mit Anspruch 2, dadurch gekennzeichnet, dass aus mehreren Normalabständen (d_i) eine Arbeitsbreite (b) des Fahrzeugs (1) gemittelt wird.

9. Verfahren nach Anspruch 6, ferner umfassend:

Unterteilen der Positionsfixe (p_i) im Feld (2) in zeitlich aufeinanderfolgende Fahrten (T_n) von jeweils abwechselnder Fahrtrichtung (R_1, R_2);

Glätten der Positionsfixe ($P_{i,F}$) im Feld (2) in Hinblick auf eine Maximierung der Parallelität der Fahrten (T_n); und

Ermitteln einer Arbeitsbreite (b) aus dem gegenseitigen Abstand zumindest zweier Fahrten (T_n).

10. Verfahren nach Anspruch 8 oder 9, ferner umfassend:

Ermitteln einer Kontur (C) des Feldes (2);

Vergrößern der Kontur (C) des Feldes (2) um einen Anteil, bevorzugt um die Hälfte, der Arbeitsbreite (b); und

Berechnen der Fläche innerhalb der vergrößerten Kontur als Fläche des erkannten Feldes (2).

5 11. Verfahren nach einem der Ansprüche 8 bis 10, ferner umfassend das Klassifizieren des Feldes (2) zumindest anhand der ermittelten Arbeitsbreite (b).

10 12. Verfahren nach einem der Ansprüche 1 bis 11, dadurch gekennzeichnet, dass Schritt a) mit einem mobilen Endgerät (4) und die Schritte b) bis f) in einem davon entfernten Server (8) durchgeführt werden, welcher die Folge (FG) über eine Mobilfunkverbindung (5) vom Endgerät (4) erhält.

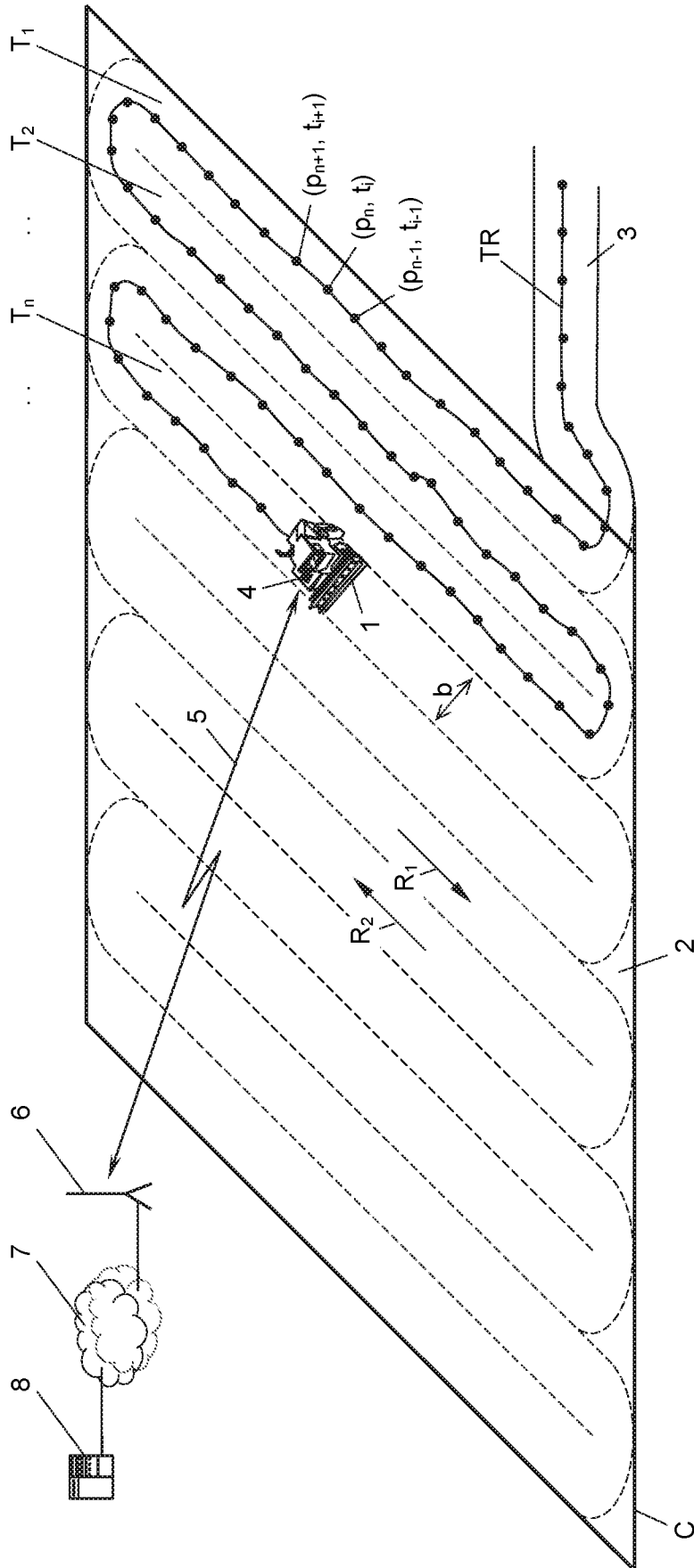


Fig. 1

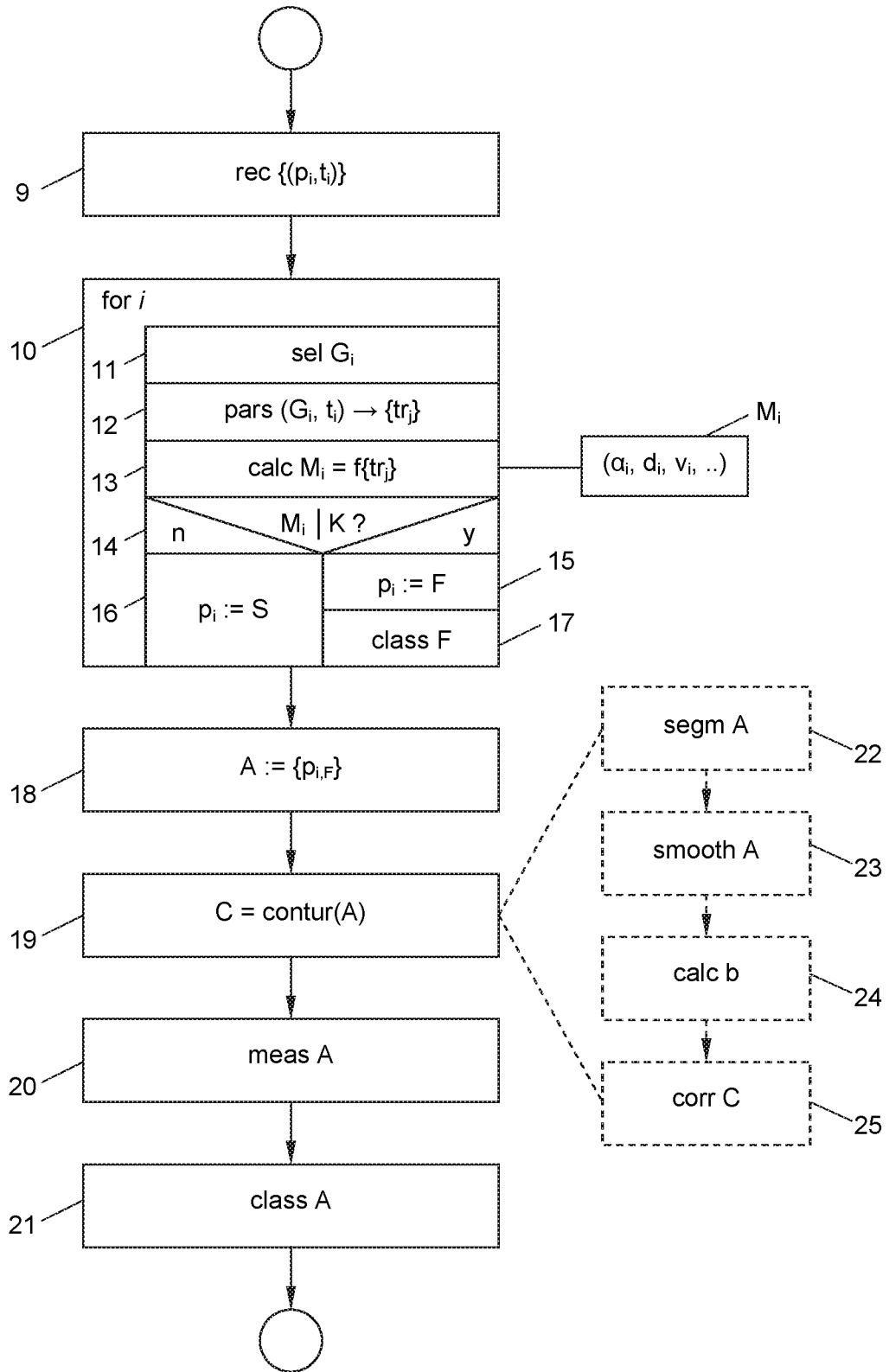


Fig. 2

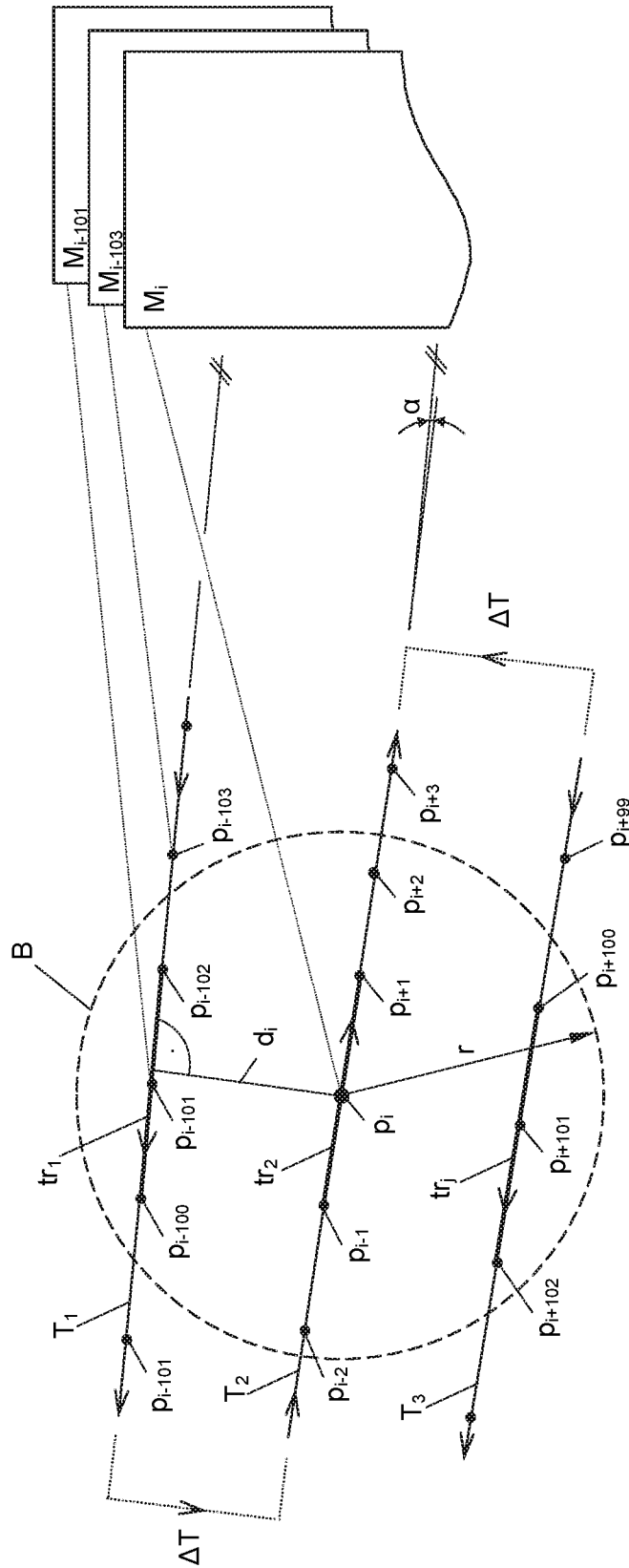


Fig. 3

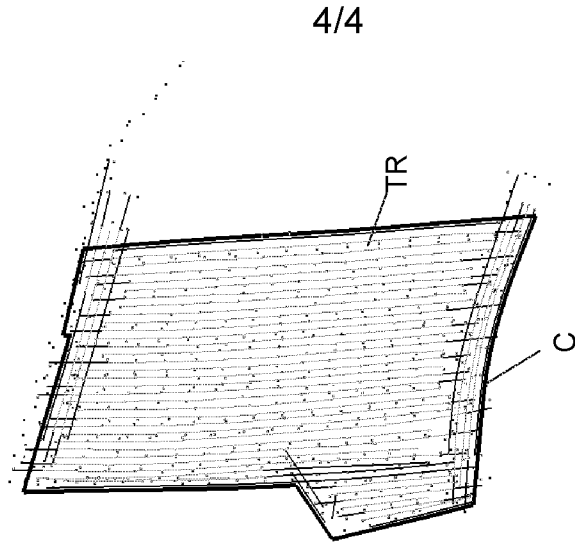


Fig. 4c

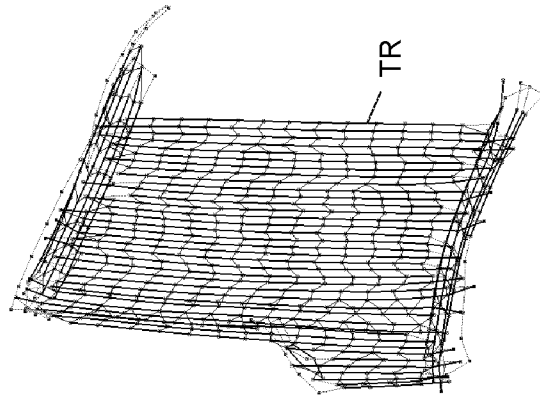


Fig. 4b

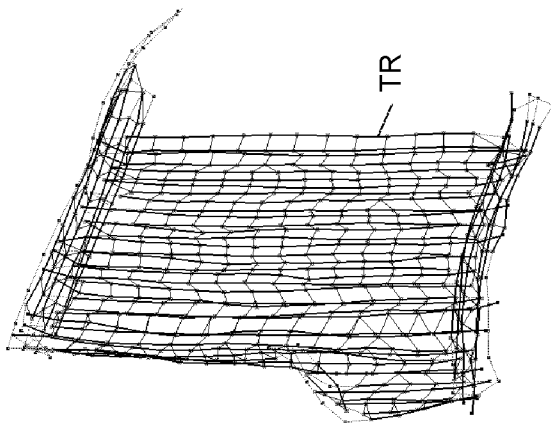


Fig. 4a

INTERNATIONAL SEARCH REPORT

International application No
PCT/AT2017/060079

A. CLASSIFICATION OF SUBJECT MATTER
INV. G01S19/14 A01B69/00 G06Q10/00
ADD. G01S19/53

According to International Patent Classification (IPC) or to both national classification and IPC

B. FIELDS SEARCHED

Minimum documentation searched (classification system followed by classification symbols)
G01S A01B G05D G06Q G07C G08G B64C

Documentation searched other than minimum documentation to the extent that such documents are included in the fields searched

Electronic data base consulted during the international search (name of data base and, where practicable, search terms used)
EPO-Internal, WPI Data, COMPENDEX, INSPEC

C. DOCUMENTS CONSIDERED TO BE RELEVANT		
Category*	Citation of document, with indication, where appropriate, of the relevant passages	Relevant to claim No.
A	US 2009/118904 A1 (BIRNIE DENIS ALLAN [NZ]) 7 May 2009 (2009-05-07) paragraphs [0009], [0017] paragraphs [0021] - [0024] paragraphs [0053], [0063] - [0066], [0068] paragraphs [0072] - [0076]; figures 3, 5 -----	1-12
A	US 2008/249692 A1 (DIX PETER J [US]) 9 October 2008 (2008-10-09) the whole document -----	1-12
A	US 2011/054729 A1 (WHITEHEAD MICHAEL L [US] ET AL) 3 March 2011 (2011-03-03) the whole document -----	1-12

Further documents are listed in the continuation of Box C.

See patent family annex.

* Special categories of cited documents :

- "A" document defining the general state of the art which is not considered to be of particular relevance
- "E" earlier application or patent but published on or after the international filing date
- "L" document which may throw doubts on priority claim(s) or which is cited to establish the publication date of another citation or other special reason (as specified)
- "O" document referring to an oral disclosure, use, exhibition or other means
- "P" document published prior to the international filing date but later than the priority date claimed

- "T" later document published after the international filing date or priority date and not in conflict with the application but cited to understand the principle or theory underlying the invention
- "X" document of particular relevance; the claimed invention cannot be considered novel or cannot be considered to involve an inventive step when the document is taken alone
- "Y" document of particular relevance; the claimed invention cannot be considered to involve an inventive step when the document is combined with one or more other such documents, such combination being obvious to a person skilled in the art
- "&" document member of the same patent family

Date of the actual completion of the international search 14 June 2017	Date of mailing of the international search report 17/07/2017
Name and mailing address of the ISA/ European Patent Office, P.B. 5818 Patentlaan 2 NL - 2280 HV Rijswijk Tel. (+31-70) 340-2040, Fax: (+31-70) 340-3016	Authorized officer Naddeo, Giovanni

INTERNATIONAL SEARCH REPORT

Information on patent family members

International application No

PCT/AT2017/060079

Patent document cited in search report	Publication date	Patent family member(s)	Publication date
US 2009118904	A1	07-05-2009	NONE
US 2008249692	A1	09-10-2008	NONE
US 2011054729	A1	03-03-2011	NONE

A. KLASSIFIZIERUNG DES ANMELDUNGSGEGENSTANDES
 INV. G01S19/14 A01B69/00 G06Q10/00
 ADD. G01S19/53

Nach der Internationalen Patentklassifikation (IPC) oder nach der nationalen Klassifikation und der IPC

B. RECHERCHIERTE GEBIETE

Recherchierter Mindestprüfstoff (Klassifikationssystem und Klassifikationssymbole)
 G01S A01B G05D G06Q G07C G08G B64C

Recherchierte, aber nicht zum Mindestprüfstoff gehörende Veröffentlichungen, soweit diese unter die recherchierten Gebiete fallen

Während der internationalen Recherche konsultierte elektronische Datenbank (Name der Datenbank und evtl. verwendete Suchbegriffe)

EPO-Internal, WPI Data, COMPENDEX, INSPEC

C. ALS WESENTLICH ANGESEHENE UNTERLAGEN

Kategorie*	Bezeichnung der Veröffentlichung, soweit erforderlich unter Angabe der in Betracht kommenden Teile	Betr. Anspruch Nr.
A	US 2009/118904 A1 (BIRNIE DENIS ALLAN [NZ]) 7. Mai 2009 (2009-05-07) Absätze [0009], [0017] Absätze [0021] - [0024] Absätze [0053], [0063] - [0066], [0068] Absätze [0072] - [0076]; Abbildungen 3, 5 -----	1-12
A	US 2008/249692 A1 (DIX PETER J [US]) 9. Oktober 2008 (2008-10-09) das ganze Dokument -----	1-12
A	US 2011/054729 A1 (WHITEHEAD MICHAEL L [US] ET AL) 3. März 2011 (2011-03-03) das ganze Dokument -----	1-12



Weitere Veröffentlichungen sind der Fortsetzung von Feld C zu entnehmen



Siehe Anhang Patentfamilie

* Besondere Kategorien von angegebenen Veröffentlichungen :

"A" Veröffentlichung, die den allgemeinen Stand der Technik definiert, aber nicht als besonders bedeutsam anzusehen ist

"E" frühere Anmeldung oder Patent, die bzw. das jedoch erst am oder nach dem internationalen Anmeldedatum veröffentlicht worden ist

"L" Veröffentlichung, die geeignet ist, einen Prioritätsanspruch zweifelhaft erscheinen zu lassen, oder durch die das Veröffentlichungsdatum einer anderen im Recherchenbericht genannten Veröffentlichung belegt werden soll oder die aus einem anderen besonderen Grund angegeben ist (wie ausgeführt)

"O" Veröffentlichung, die sich auf eine mündliche Offenbarung, eine Benutzung, eine Ausstellung oder andere Maßnahmen bezieht

"P" Veröffentlichung, die vor dem internationalen Anmeldedatum, aber nach dem beanspruchten Prioritätsdatum veröffentlicht worden ist

"T" Spätere Veröffentlichung, die nach dem internationalen Anmeldedatum oder dem Prioritätsdatum veröffentlicht worden ist und mit der Anmeldung nicht kollidiert, sondern nur zum Verständnis des der Erfindung zugrundeliegenden Prinzips oder der ihr zugrundeliegenden Theorie angegeben ist

"X" Veröffentlichung von besonderer Bedeutung; die beanspruchte Erfindung kann allein aufgrund dieser Veröffentlichung nicht als neu oder auf erfinderischer Tätigkeit beruhend betrachtet werden

"Y" Veröffentlichung von besonderer Bedeutung; die beanspruchte Erfindung kann nicht als auf erfinderischer Tätigkeit beruhend betrachtet werden, wenn die Veröffentlichung mit einer oder mehreren Veröffentlichungen dieser Kategorie in Verbindung gebracht wird und diese Verbindung für einen Fachmann naheliegend ist

"&" Veröffentlichung, die Mitglied derselben Patentfamilie ist

Datum des Abschlusses der internationalen Recherche

14. Juni 2017

Absenddatum des internationalen Recherchenberichts

17/07/2017

Name und Postanschrift der Internationalen Recherchenbehörde
 Europäisches Patentamt, P.B. 5818 Patentlaan 2
 NL - 2280 HV Rijswijk
 Tel. (+31-70) 340-2040,
 Fax: (+31-70) 340-3016

Bevollmächtigter Bediensteter

Naddeo, Giovanni

INTERNATIONALER RECHERCHENBERICHT

Angaben zu Veröffentlichungen, die zur selben Patentfamilie gehören

Internationales Aktenzeichen

PCT/AT2017/060079

Im Recherchenbericht angeführtes Patentdokument	Datum der Veröffentlichung	Mitglied(er) der Patentfamilie	Datum der Veröffentlichung
US 2009118904	A1	07-05-2009	KEINE
US 2008249692	A1	09-10-2008	KEINE
US 2011054729	A1	03-03-2011	KEINE